

## **Prøvning af retroreflekterende folier til vej tavler i bænk - Status pr. juni 2018**

Kai Sørensen og Dennis Corell, 21. juni 2018

### **Forord og sammenfatning**

Denne rapport inkluderer måleresultater fra rapporterne:

- Genetablering af prøvning af retroreflekterende folier til vej tavler i bænk - Status pr. december 2015,
- Genetablering af prøvning af retroreflekterende folier til vej tavler i bænk - Status pr. december 2015 med opdatering marts 2016,
- Genetablering af prøvning af retroreflekterende folier til vej tavler i bænk - Status pr. juni 2016,
- Prøvning af retroreflekterende folier til vej tavler i bænk - Status pr. juni 2017.

Desuden tilføjer rapporten måleresultater fra juni 2018.

Hvad angår værdier af koefficienten for retrorefleksion  $R_A$  for hvide prøver er der ikke sket større ændringer i de forløbne cirka 2½ år, bortset fra noget fald i værdierne for 3M DG3 og 3M HIP.

Hvad angår værdierne for luminansfaktoren  $\beta$  og farvekoordinater x, y for en 45°/0° geometri og belysning med CIE standard illuminant D65 (dagslys) konstateres at for ikke-fluorescerende prøver er værdierne af luminansfaktoren  $\beta$  alle i overensstemmelse med de krav, som normalt gøres gældende for de enkelte farver. Desuden er der kun nogle få farvepunkter for gule og orange prøver, der ligger uden for deres respektive farvebokse.

For fluorescerende prøver er værdierne af luminansfaktoren  $\beta$  derimod for lave og farvepunkterne ligger helt forkert. Dette tilskrives at det anvendte måleapparat ikke udsender UV lys i noget væsentlig omfang og derfor ikke aktiverer fluorescensen.

Forholdet viser imidlertid at fluorescerende farver optræder som omtrent hvide i belysning fra billygter om natten. Begrundelsen er at belysningen fra billygter – ligesom måleapparatet - ikke indeholder UV lys i noget væsentligt omfang.

Der er ikke væsentlige ændringer af luminansfaktoren  $\beta$  og farvepunkternes beliggenhed gennem de forløbne cirka 2½ år.

### **Indledning**

NMF har rådet over en prøvestand på Hillerød kommunes materielgård i en periode fra 2006 til 2014. Den seneste rapport er ”Prøvning af retroreflekterende folier i bænk – Status pr. maj 2014”, som findes på nmfv.dk.

Prøvestanden blev imidlertid ødelagt tidligt på sommeren 2015, hvorfor NMF på sit møde i efteråret 2015 besluttede at genetablere en prøvestand. Denne skulle fra starten inkludere de folier, der findes på det europæiske marked og med farver opnået ved både indfarvning og UV print.

Omkring årsskiftet 2015/2016 var der indsamlet prøver fra 3M, Avery Dennison, Orafol og Nippon Carbide i et antal på 138.

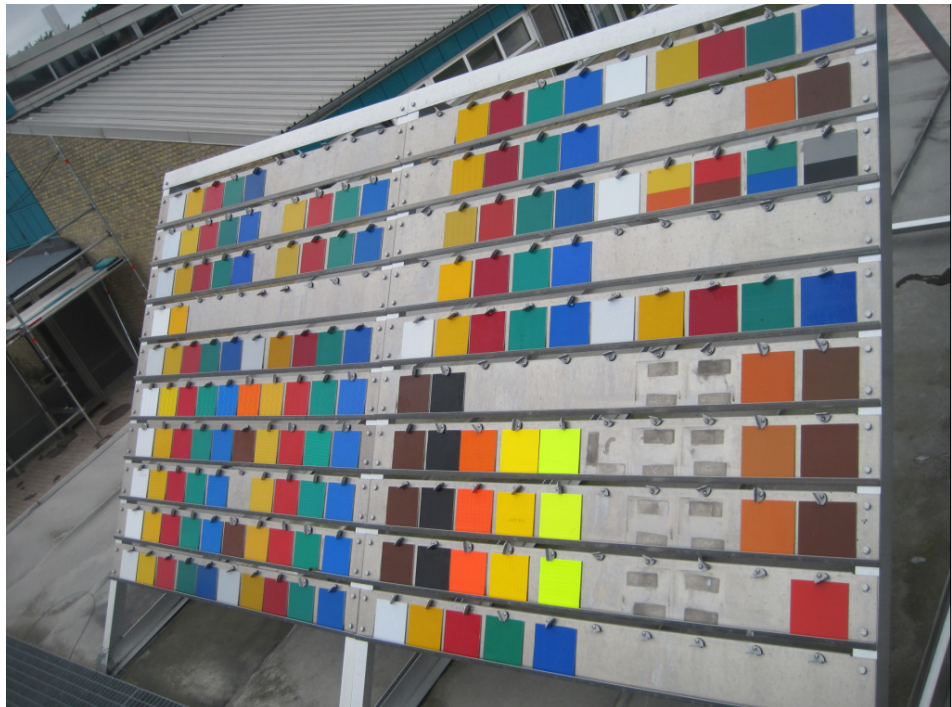
I forbindelse med målinger i juni 2017 blev der indsamlet 16 prøver af 3M AEGP, som netop var introduceret på markedet. Desuden blev der tilføjet en diffust reflekterende prøve i rød, som er fremstillet ved at en Oralite EG folie er UV printet hvid og dernæst en rød ovenpå. Denne kombination anvendes af nogle danske producenter af vej tavler til at fremstille rød ureflekterende skrift og symboler på vejvisningstavler.

Det samlede antal prøver er dermed 155. Prøverne blev målt og monteret i prøvestanden efterhånden som de blev indsamlet.

Prøvestanden findes på et tag hos DTU Fotonik i Risø med fri himmel, og består af to bænke med hver  $10 \times 10$  pladser, som vender mod syd og hælder  $45^\circ$ . Figur 1 viser prøvestanden fra juni 2017 og fremefter.

Der findes endnu en bænk, som kan tages i brug efter behov.

**Figur 1: Prøvestanden hos DTU Fotonik i juni 2017.**



Udover de indledende målinger omkring årsskiftet 2015/2016 er der foretaget målinger i juni 2016, 2017 og nu i 2018.

Prøverne omtales i afsnit 1, mens måleresultaterne præsenteres og kommenteres i afsnit 2. Måleværdierne fra årsskiftet 2015/2016 er vist i bilag A, mens måleværdierne pr. juni 2016, 2017 og 2018 er vist i bilag henholdsvis B, C og D.

I tabellerne i disse bilag er ledige pladser markeret med grå skravering, og ellers med de pågældende farver. Hvor prøver ikke var monteret på de pågældende tidspunkter, er der ikke angivet måleværdier.

Det ses af figur 1 at fire af de nye prøver af 3M AEGP folie hver har 2 farver, som er fremstillet ved UV tryk. Af praktiske grunde opfattes hver af disse som to prøver og der er afsat to pladser til hver i tabellerne.

## **1. Prøver af retroreflekterende folier og deres placering**

Prøverne er placeret i de to bænke med tilsammen har  $10 \times 20$  positioner som vist i figur 2.

Række	1	2	3	4	5	6	7	8	9	10	11	12	13	14	15	16	17	18	19	20
1	3M EG indfarvet										3M EG tryk med 1170				3M AEGP indfarvet					
2	3M EGP indfarvet					3M EGP tryk med 1140					3M EGP tryk med 1170									
3	3M HIP indfarvet					3M HIP tryk med 1140					3M HIP tryk med 1170				3M AEGP tryk med 1140					
4	3M DG3 indfarvet										3M DG3 tryk med 1170									
5	Oralite 5710 indfarvet					Oralite 5810 indfarvet					Oralite 5910 indfarvet				Oralite 6910 indfarvet					
6	AD T-2500 indfarvet					AD T-2500 tryk og OL-2000 overla									Oralite 5710 Indfarvet					
7	AD T-6500 indfarvet					AD T-6500 tryk og OL-2000 overla									Oralite 5810 Indfarvet					
8	AD T-7500 indfarvet					AD T-7500 tryk og OL-2000 overla									Oralite 5910 Indfarvet					
9	AD T-11500 indfarvet					AD T11500 tryk og OL-2000 overl									Oralite diffus rød					
10	Nikkalite EG indfarvet					Nikkalite HI indfarvet					Nikkalite CG indfarvet									

**Figur 2: Placering af prøver i to bænke.**

Figur 2 viser at der er prøver fra 3M, Orafol, Avery Dennison og Nippon Carbide og at der er prøver af henholdsvis fem, fire, fire og tre typer refleksfolier. For hver af disse i alt 16 typer af refleksfolier findes farverne hvid, gul, rød, grøn og blå.

For to af leverandørernes vedkommende (3M og Avery Dennison) optræder farverne gul, rød, grøn og blå både som indfarvede og som UV tryk beskyttet af et laminat (laminatet påføres som et led i trykkeprocessen). For den enes leverandørs vedkommende (3M) er der benyttet to forskellige laminater, dels 1140 og dels 1170. Laminat 1140 har tekstur, men 1170 er blankt.

Én af leverandørerne (3M) har leveret yderligere orange og brune prøver, men kun af typen AEGP, Desuden er der prøver af sort og grå, men kun for UV tryk på AEGP folie.

En anden leverandører (Avery Dennison) har leveret yderligere prøver. Af indfarvede prøver er der én orange, to brune, tre fluorescerende gule, tre fluorescerende gul/grønne og to fluorescerende orange. Af trykte farver er der én orange, fire brune og fire sorte.

Endnu en af leverandørerne (Orafol), har leveret yderligere orange og brune prøver af hver af de tre typer af refleksfolier.

## 2. Måleværdier

Målingerne omfatter koefficienten for retrorefleksion  $R_A$  for en observationsvinkel på  $0,33^\circ$  og en indfaldsvinkel på  $5^\circ$ . Der er anvendt en RetroSign 4000, som er holdt vinkelret på prøverne og med målefeltet midt på prøverne.

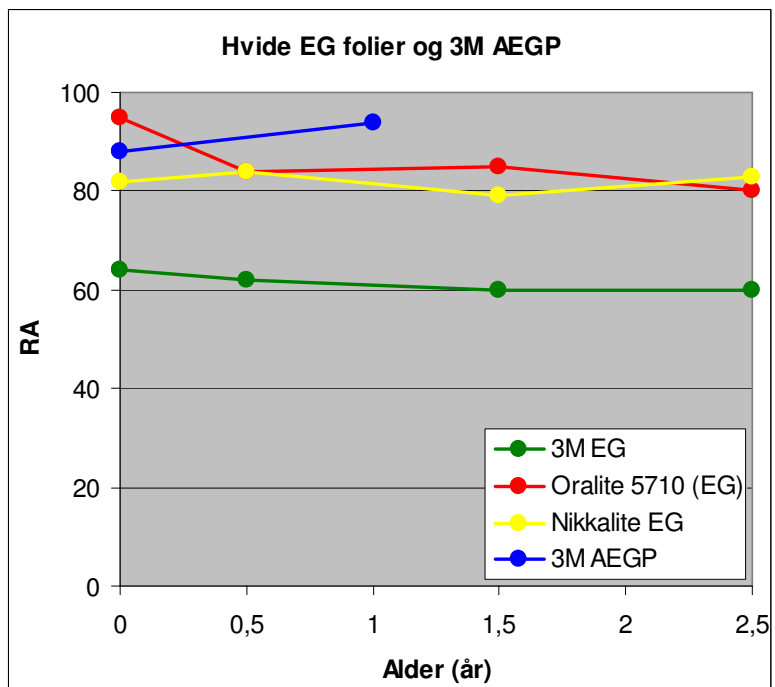
Desuden omfatter målingerne luminansfaktoren  $\beta$  og farvekoordinater x, y for en  $45^\circ/0^\circ$  geometri og belysning med CIE standard illuminant D65 (dagslys). Hertil er der anvendt en Gardner ColorGuide, som ligeledes er holdt vinkelret på prøverne.

Måleværdierne fra årsskiftet 2015/2016 er vist i bilag A, mens måleværdierne pr. juni 2016, 2017 og 2018 er vist i bilag henholdsvis B, C og D.

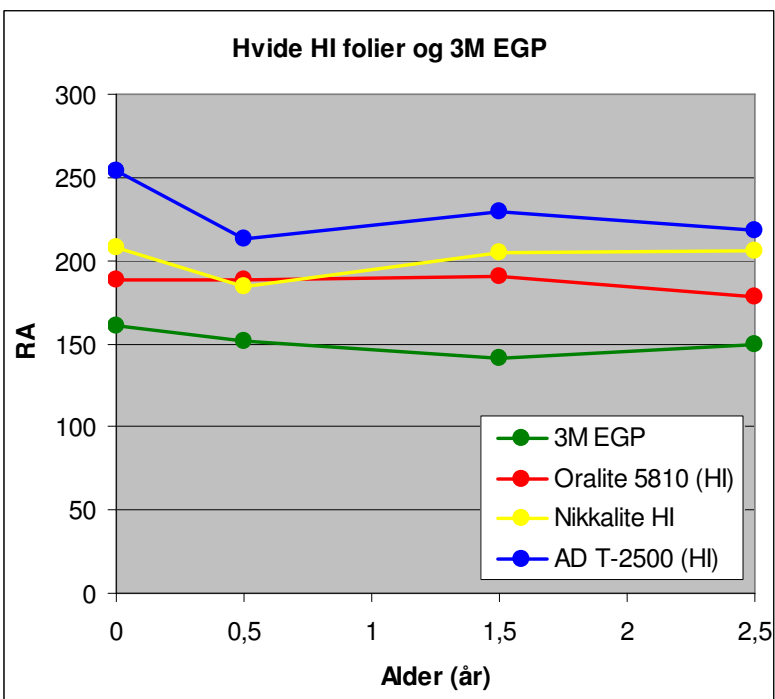
Forløbet af  $R_A$  værdier er vist for hvide folier i figur 3, 4 og 5 for henholdsvis:

- EG folier og 3M AEGP folie,
- HI folier og 3M EGP,

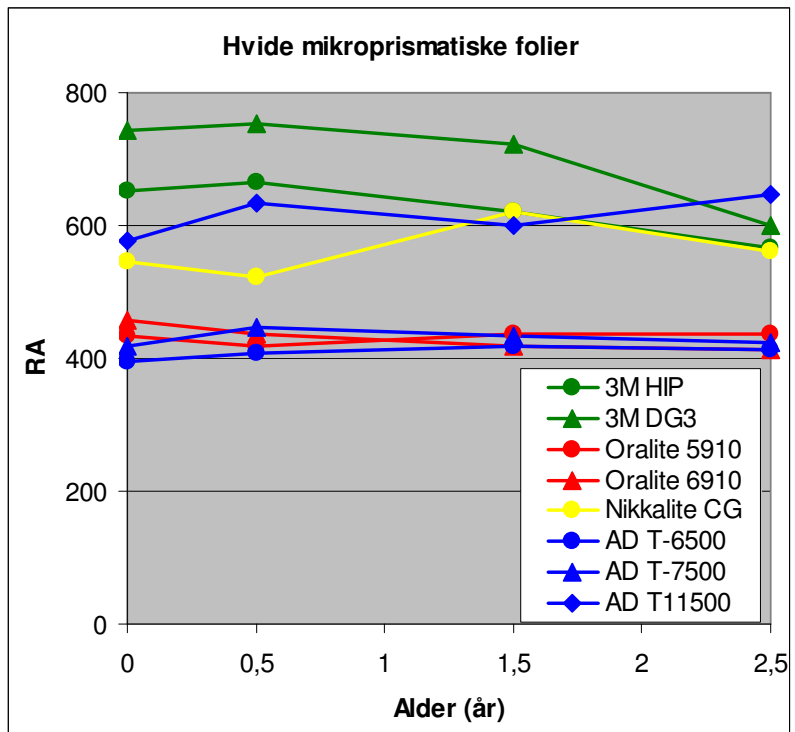
- Mikroprismatiske folier.



**Figur 3:** Forløb af  $R_A$  værdier for hvide EG folier og 3M AEGP.



**Figur 4:** Forløb af  $R_A$  værdier for hvide HI folier og 3M EGP.



**Figur 5:** Forløb af  $R_A$  værdier for hvide mikoprismatiske folier.

Figur 3, 4 og 5 viser at der ikke er sket større ændringer i de forløbne cirka 2½ år, bortset fra noget fald i  $R_A$  værdierne for 3M DG3 og 3M HIP. I øvrigt modsvarer  $R_A$  for såvel hvide som farvede prøver det, som kan forventes for de pågældende typer og farver.

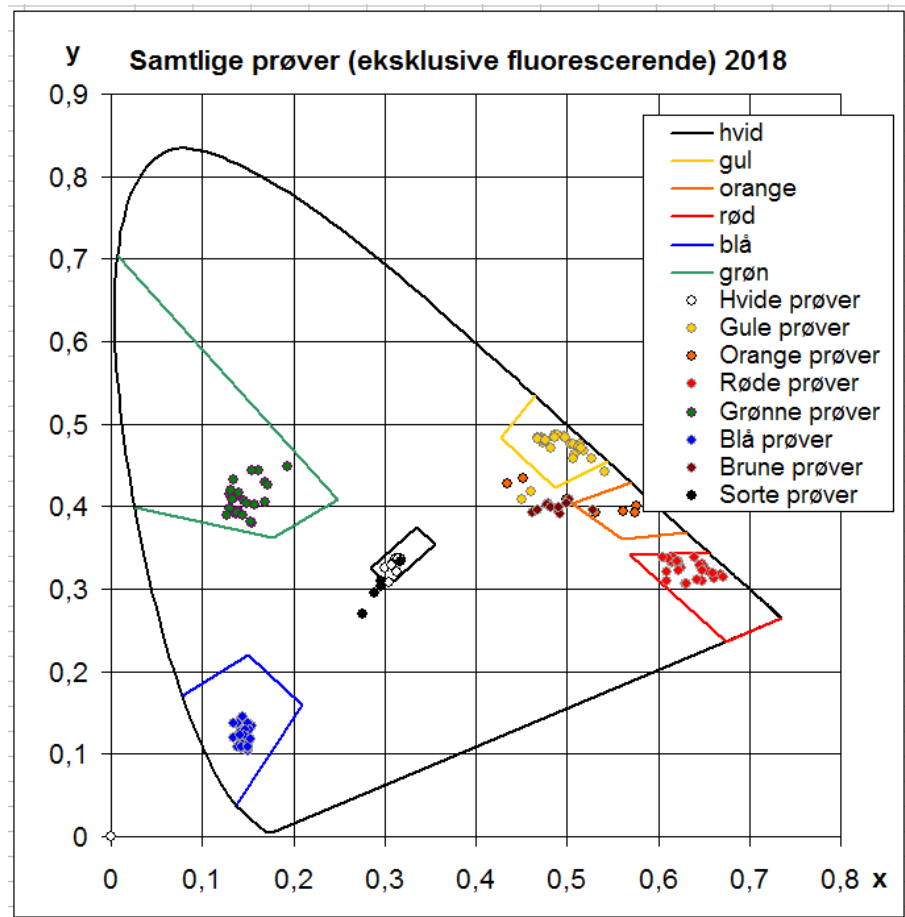
Værdierne for luminansfaktoren  $\beta$  kan inspiceres i tabeller i bilag A, B, C og D. For ikke-fluorescerende prøver er værdierne alle i overensstemmelse med de krav, som normalt gøres gældende for de enkelte farver.

For fluorescerende prøver må det tages i betragtning at måleapparatet ikke udsender det UV lys, der er nødvendigt for at aktivere fluorescens, hvorfor værdierne er lavere end ved en korrekt måling.

Værdierne for farvekoordinaterne (x,y) kan inspiceres i tabeller i bilag A, B, C og D, som desuden viser diagrammer for farvepunkter i CIE's farvetrekant sammen med de farvebokse der normalt lægges til grund for de enkelte farver.

Diagrammet for den sidst udførte måling i juni 2018 er desuden vist i figur 6 for samtlige prøver eksklusive fluorescerende prøver.

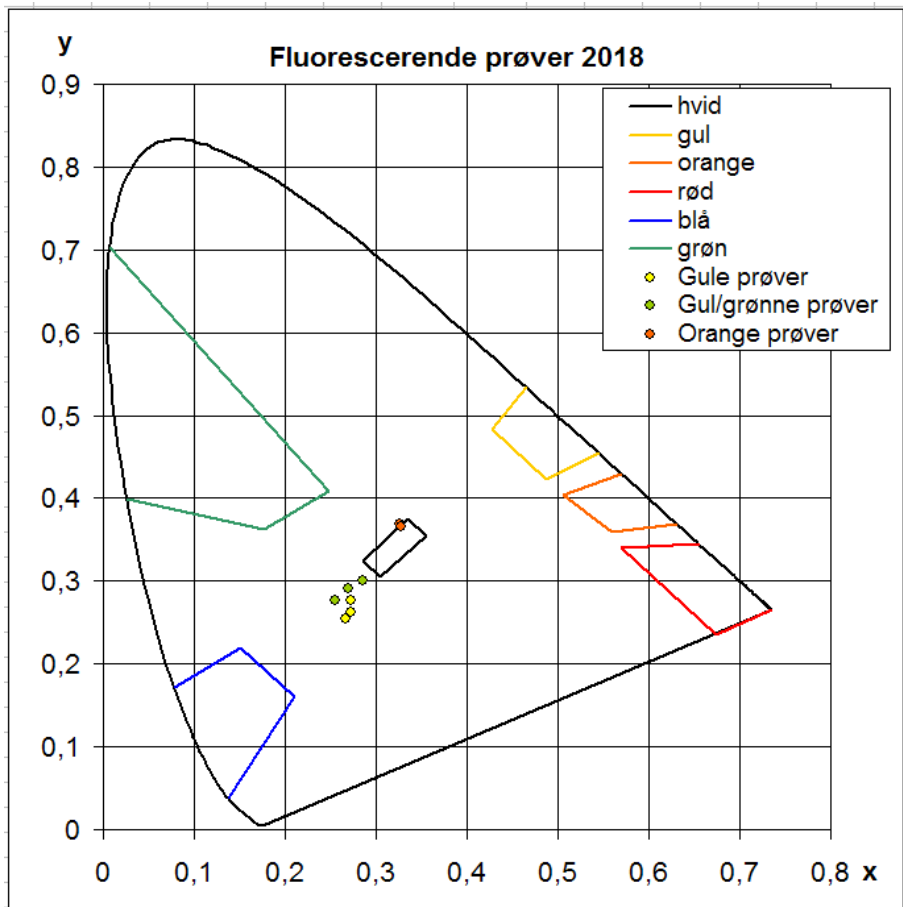
**Figur 6: Farvepunkter for samtlige prøver (eksklusivt fluorescerende).**



Figur 6 viser at farvepunkterne for hvide, røde, grønne og blå farver ligger inden for deres respektive farvebokse. Der findes farvebokse for brun og sort, som imidlertid ikke er indtegnet i figur 6, men det anføres at farvepunkterne for brune og sorte prøver ligger inden for disse farvebokse.

Dermed er der kun nogle få farvepunkter for gule og orange prøver, der ligger uden for deres farvebokse.

Endvidere er diagrammet for den sidst udførte måling i juni 2018 vist i figur 7 for fluorescerende prøver.



**Figur 7: Farvepunkter for fluorescerende prøver.**

Figur 7 viser at farvepunkterne for fluorescerende prøver ligger i et område omkring boksen for hvid. Der findes farvebokse for disse fluorescerende farver, som ikke er indtegnet, men som ligger op ad spectrum locus linjen omkring farveboksene for orange og gul.

Farvepunkterne de fluorescerende prøver ligger derfor helt forkert. Dette tilskrives at det ovennævnte forhold - at måleapparatet ikke udsender UV lys i noget væsentlig omfang og derfor ikke aktiverer fluorescensen.

Forholdet viser imidlertid at fluorescerende farver optræder som omrent hvide i belysning fra billygter om natten. Begrundelsen er at belysningen fra billygter – ligesom måleapparatet - ikke indeholder UV lys i noget væsentligt omfang.

Bilag A: Måleværdier ved årsskiftet 2015/2016

Tabel A.1: Måleværdier for  $R_A$ .

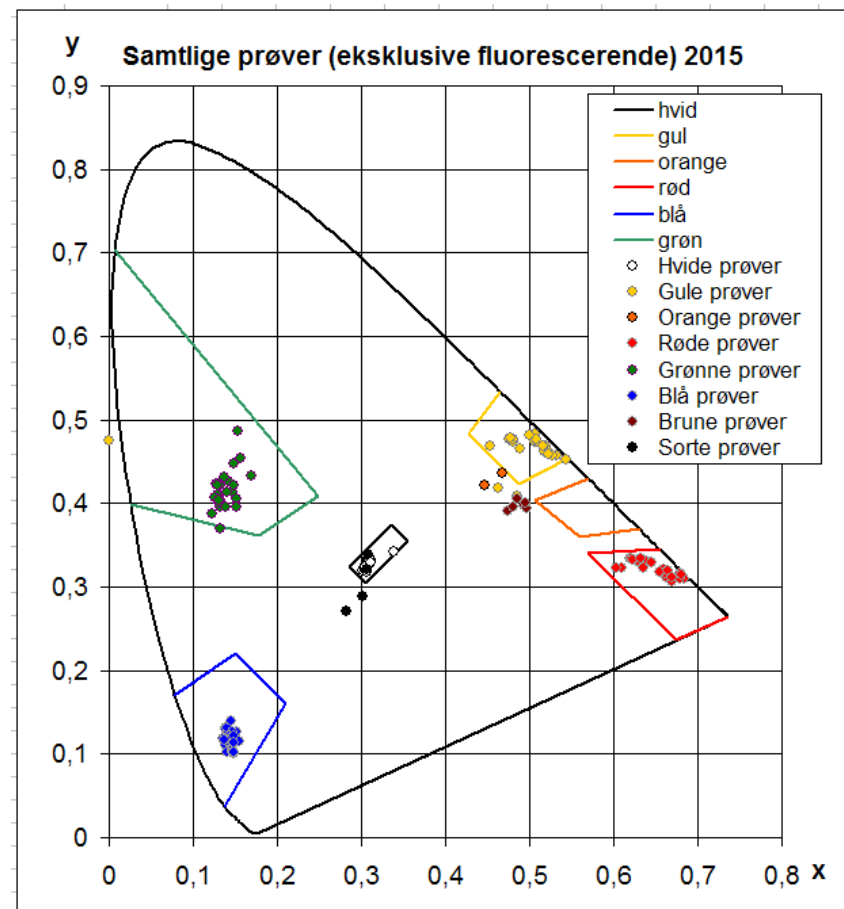
Række	1	2	3	4	5	6	7	8	9	10	11	12	13	14	15	16	17	18	19	20
1	64	52	22	18	5						54	14	11	6						
2	161	135	53	17	16		104	46	31	16		233	61	42	19					
3	652	466	142	107	58		222	88	71	42		293	123	80	62					
4	743	598										632	161	132	70					
5	95	76	28	16	6	188	153	49	33	14	435	338	111	88	44	456	358	96	58	40
6	254	263	52	36	24	151	83	37	34	18	5	1								
7	395	358	90	99	55	40	285	90	118	55	34	2	162	377	298					
8	419	370	95	95	62		305	92	78	54	39	3	295	325	284					
9	577	539	153	125	79	57	375	149	128	69	56	0	267	591	401					
10	82	65	25	12	6	208	162	37	42	16	545	424	139	109	34					

Tabel A.2: Måleværdier for  $\beta$ .

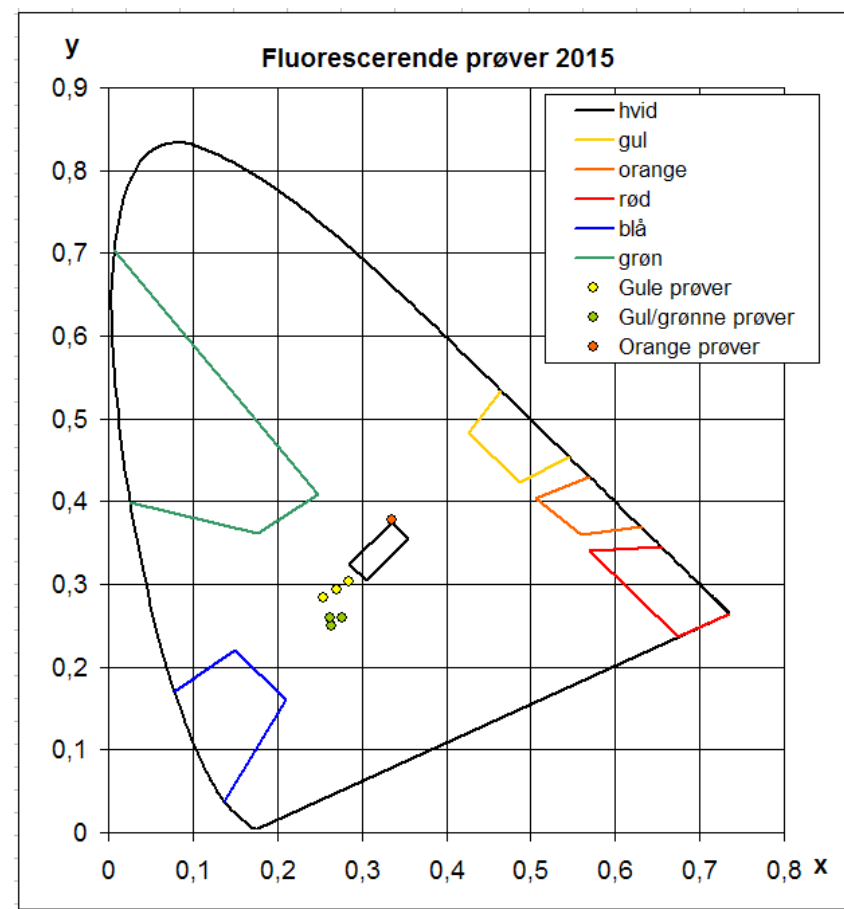
Række	1	2	3	4	5	6	7	8	9	10	11	12	13	14	15	16	17	18	19	20
1	0,470	0,340	0,060	0,070	0,018						0,320	0,043	0,082	0,050						
2	0,490	0,330	0,063	0,053	0,038		0,312	0,081	0,094	0,052		0,330	0,037	0,070	0,047					
3	0,420	0,300	0,046	0,060	0,037		0,262	0,068	0,073	0,041		0,260	0,068	0,058	0,032					
4	0,370	0,250										0,230	0,030	0,060	0,037					
5	0,470	0,330	0,068	0,068	0,031	0,330	0,180	0,037	0,074	0,040	0,480	0,290	0,040	0,073	0,038	0,480	0,290	0,039	0,078	0,036
6	0,450	0,290	0,036	0,068	0,044	0,292	0,304	0,091	0,079	0,050	0,030	0,003								
7	0,470	0,250	0,040	0,068	0,043	0,048	0,285	0,082	0,091	0,048	0,035	0,000	0,330	0,450	0,560					
8	0,460	0,260	0,040	0,071	0,043		0,297	0,082	0,083	0,050	0,034	0,003	0,470	0,480	0,500					
9	0,360	0,230	0,036	0,063	0,053	0,048	0,295	0,075	0,078	0,050	0,033	0,003	0,370	0,380	0,400					
10	0,460	0,320	0,072	0,046	0,027	0,280	0,170	0,045	0,074	0,043	0,460	0,300	0,062	0,067	0,042					

Tabel A.3: Måleværdier for farvekoordinater x (øverste værdi) og y (nederste værdi).

Række	1	2	3	4	5	6	7	8	9	10	11	12	13	14	15	16	17	18	19	20
1	0,312	0,507	0,638	0,132	0,143							0,463	0,661	0,137	0,144					
	0,333	0,473	0,331	0,425	0,105							0,419	0,316	0,431	0,118					
2	0,302		0,610	0,133	0,138		0,480	0,619	0,170	0,139		0,486	0,669	0,129	0,146					
	0,320	0,475	0,323	0,421	0,111		0,477	0,334	0,433	0,130		0,408	0,307	0,421	0,105					
3	0,307	0,510	0,660	0,129	0,149		0,475	0,621	0,142	0,141		0,478	0,632	0,148	0,137					
	0,337	0,474	0,321	0,411	0,101		0,477	0,334	0,427	0,132		0,478	0,334	0,421	0,117					
4	0,304	0,519										0,454	0,669	0,131	0,147					
	0,323	0,468										0,468	0,312	0,401	0,102					
5	0,311	0,502	0,645	0,128	0,135	0,307	0,517	0,663	0,146	0,140	0,305	0,527	0,655	0,141	0,149	0,311	0,522	0,669	0,131	0,148
	0,333	0,481	0,329	0,423	0,118	0,318	0,462	0,312	0,414	0,102	0,325	0,458	0,318	0,414	0,122	0,329	0,459	0,312	0,404	0,102
6	0,339	0,507	0,679	0,125	0,144	0,446	0,489	0,631	0,139	0,152	0,473	0,302								
	0,342	0,484	0,316	0,407	0,103	0,421	0,466	0,330	0,396	0,126	0,391	0,289								
7	0,309	0,533	0,684	0,133	0,140	0,493	0,480	0,628	0,157	0,147	0,486	0,308	0,468	0,276	0,255					
	0,328	0,457	0,310	0,403	0,115	0,397	0,476	0,331	0,454	0,127	0,405	0,339	0,436	0,259	0,283					
8	0,308	0,521	0,679	0,133	0,139		0,480	0,629	0,152	0,148	0,481	0,307	0,335	0,264	0,270					
	0,329	0,463	0,310	0,369	0,117		0,474	0,331	0,406	0,122	0,396	0,322	0,378	0,250	0,293					
9	0,305	0,508	0,680	0,133	0,139	0,496	0,480	0,623	0,149	0,143	0,495	0,282	0,336	0,262	0,285					
	0,323	0,476	0,315	0,396	0,132	0,394	0,476	0,332	0,448	0,121	0,401	0,270	0,378	0,260	0,304					
10	0,310	0,500	0,604	0,123	0,155	0,306	0,516	0,636	0,152	0,145	0,319	0,544	0,664	0,153	0,148					
	0,328	0,482	0,323	0,388	0,115	0,328	0,468	0,322	0,396	0,139	0,299	0,453	0,320	0,487	0,113					



Figur A.1: Farvepunkter for samtlige prøver (eksklusivt fluorescerende).



Figur A.2: Farvepunkter for fluorescerende prøver.

Bilag B: Måleværdier i juni 2016

Tabel B.1: Måleværdier for  $R_A$ .

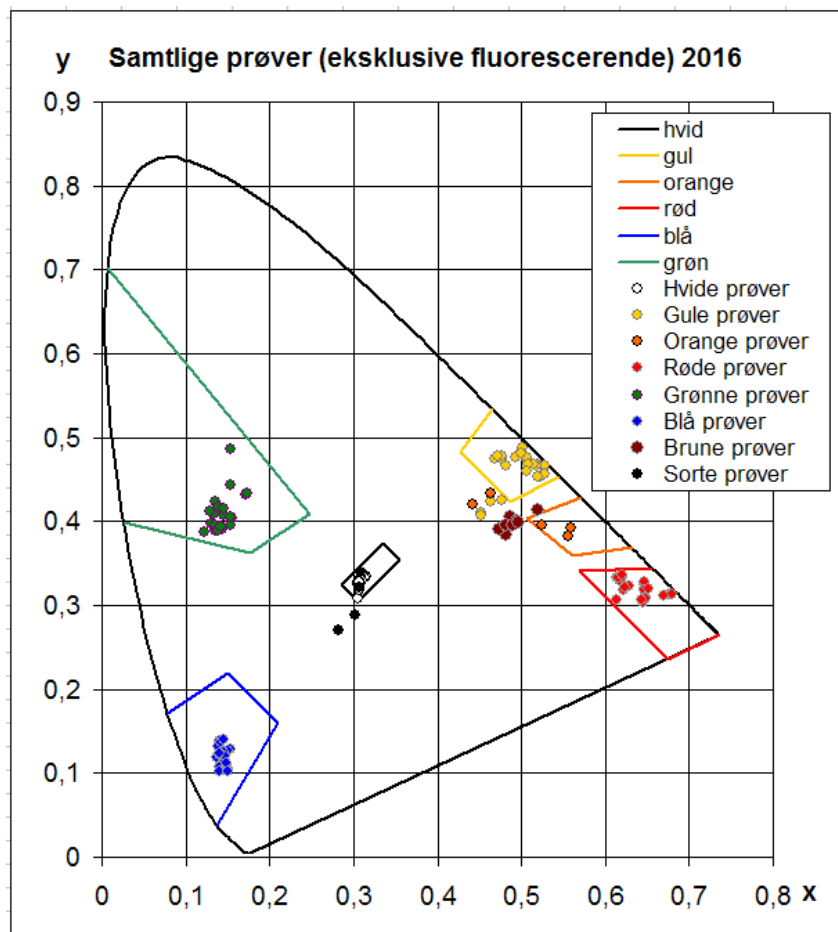
Række	1	2	3	4	5	6	7	8	9	10	11	12	13	14	15	16	17	18	19	20
1	62	48	21	17	6						51	14	11	6						
2	152	128	54	16	16		109	47	32	16		224	56	38	19					
3	664	465	142	107	55		221	88	75	44		300	121	81	51					
4	752	605										561	141	122	65					
5	84	72	26	13	5	188	145	47	31	14	417	359	119	98	43	436	312	85	51	
6	213	272	54	35	24	140	82	37	35	19	5	1						35	17	
7	407	337	92	96	55	40	283	87	115	56	34	2	161	377	280			94	29	
8	447	357	101	88	60		287	89	75	51	39	3	290	314	278			226	53	
9	635	546	165	120	77	57	389	147	124	70	56	0	214	492	377					
10	84	59	25	10	6	184	144	37	39	17	521	406	127	100	34					

Tabel B.2: Måleværdier for  $\beta$ .

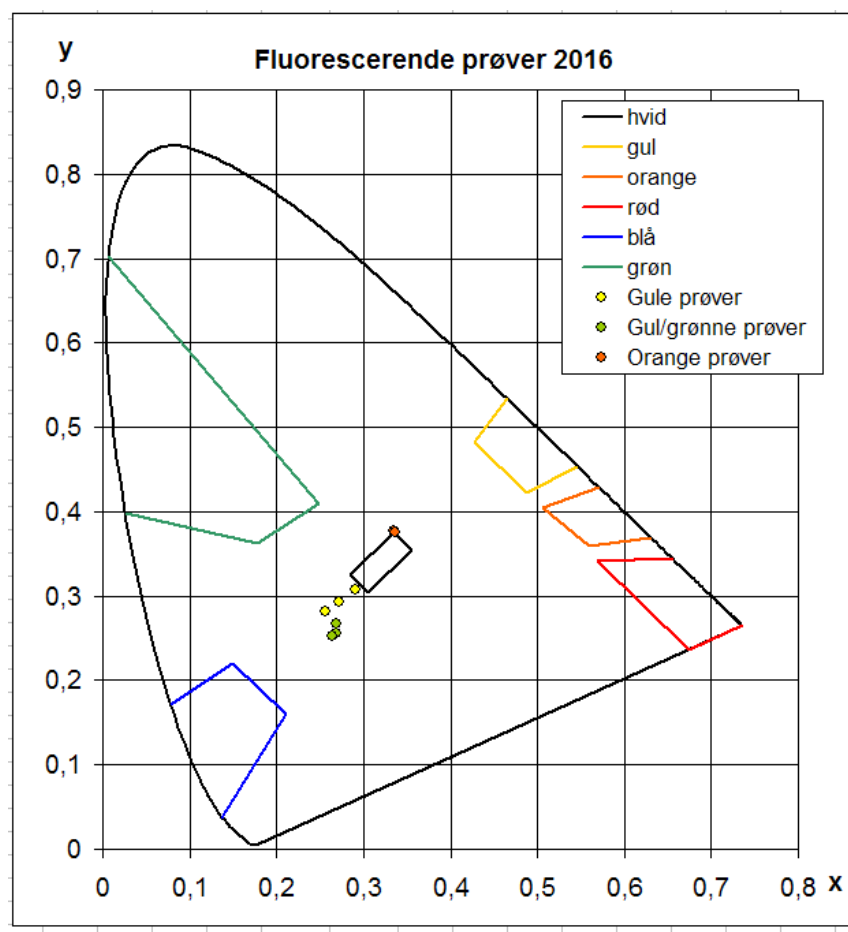
Række	1	2	3	4	5	6	7	8	9	10	11	12	13	14	15	16	17	18	19	20
1	0,41	0,32	0,05	0,060	0,02						0,3	0,04	0,08	0,05						
2	0,5	0,35	0,06	0,06	0,04		0,31	0,08	0,09	0,05		0,33	0,04	0,07	0,05					
3	0,42	0,25	0,05	0,06	0,04		0,26	0,07	0,07	0,04		0,25	0,07	0,06	0,03					
4	0,37	0,24										0,24	0,03	0,06	0,04					
5	0,43	0,31	0,06	0,06	0,03	0,33	0,18	0,04	0,07	0,04	0,47	0,29	0,04	0,07	0,04	0,48	0,31	0,04	0,08	
6	0,44	0,29	0	0,07	0,05	0,29	0,3	0,09	0,08	0,05	0,03	0						0,19	0,04	
7	0,46	0,25	0,04	0,06	0,04	0,05	0,29	0,08	0,09	0,05	0,04	0,000	161	0,45	0,54			0,150	0,04	
8	0,46	0,25	0,04	0,07	0,05		0,3	0,08	0,08	0,05	0,03	0	0,47	0,49	0,46			0,19	0,04	
9	0,36	0,23	0,04	0,06	0,06	0,05	0,3	0,08	0,08	0,05	0,03	0	0,38	0,39	0,38					
10	0,45	0,32	0,07	0,04	0,02	0,28	0,17	0,05	0,07	0,04	0,43	0,29	0,06	0,06	0,04					

**Tabel B.3: Måleværdier for farvekoordinater x (øverste værdi) og y (nederste værdi).**

Række	1	2	3	4	5	6	7	8	9	10	11	12	13	14	15	16	17	18	19	20
1	0,315	0,506	0,647	0,134	0,143							0,464	0,649	0,138	0,146					
	0,334	0,474	0,325	0,408	0,104							0,423	0,311	0,416	0,121					
2	0,306	0,494	0,622	0,136	0,140		0,476	0,618	0,172	0,139		0,452	0,645	0,135	0,147					
	0,308	0,477	0,319	0,424	0,108		0,425	0,333	0,431	0,131		0,411	0,304	0,395	0,105					
3	0,306	0,523	0,646	0,135	0,150		0,469	0,613	0,174	0,142		0,472	0,620	0,154	0,140					
	0,329	0,453	0,320	0,390	0,103		0,475	0,334	0,434	0,137		0,477	0,336	0,405	0,124					
4	0,307	0,519										0,451	0,614	0,139	0,150					
	0,325	0,468										0,407	0,306	0,389	0,105					
5	0,313	0,500	0,646	0,128	0,137	0,306	0,527	0,646	0,145	0,149	0,310	0,508	0,648	0,145	0,141	0,307	0,506	0,643	0,142	0,150
	0,333	0,482	0,328	0,412	0,119	0,326	0,457	0,317	0,406	0,124	0,338	0,469	0,308	0,415	0,103	0,319	0,460	0,307	0,394	0,103
6	0,306	0,501	0,676	0,130	0,145	0,441	0,481	0,617	0,144	0,153	0,473	0,302							0,559	0,520
	0,324	0,487	0,313	0,397	0,117	0,420	0,466	0,330	0,390	0,128	0,391	0,289							0,392	0,414
7	0,310	0,528	0,680	0,137	0,141	0,482	0,476	0,620	0,156	0,150	0,486	0,308	0,464	0,270	0,256				0,524	0,490
	0,329	0,467	0,313	0,392	0,122	0,393	0,474	0,333	0,404	0,127	0,405	0,339	0,434	0,255	0,281				0,395	0,396
8	0,307	0,519	0,680	0,138	0,141		0,476	0,620	0,156	0,150	0,481	0,307	0,335	0,265	0,272				0,556	0,496
	0,329	0,467	0,313	0,392	0,122		0,474	0,333	0,404	0,127	0,396	0,322	0,377	0,253	0,293				0,382	0,399
9	0,305	0,506	0,669	0,136	0,140	0,481	0,476	0,615	0,154	0,145	0,495	0,282	0,336	0,268	0,291					
	0,324	0,477	0,311	0,394	0,138	0,383	0,478	0,333	0,443	0,125	0,401	0,270	0,375	0,267	0,308					
10	0,305	0,499	0,628	0,122	0,146	0,307	0,515	0,623	0,153	0,145	0,303	0,519	0,651	0,153	0,148					
	0,328	0,482	0,323	0,388	0,115	0,328	0,468	0,322	0,396	0,139	0,299	0,453	0,320	0,487	0,113					



Figur B.1: Farvepunkter for samtlige prøver (eksklusiv fluoresscerende).



Figur B.2: Farvepunkter for fluorescerende prøver.

Bilag C: Måleværdier i juni 2017

Tabel C.1: Måleværdier for  $R_A$ .

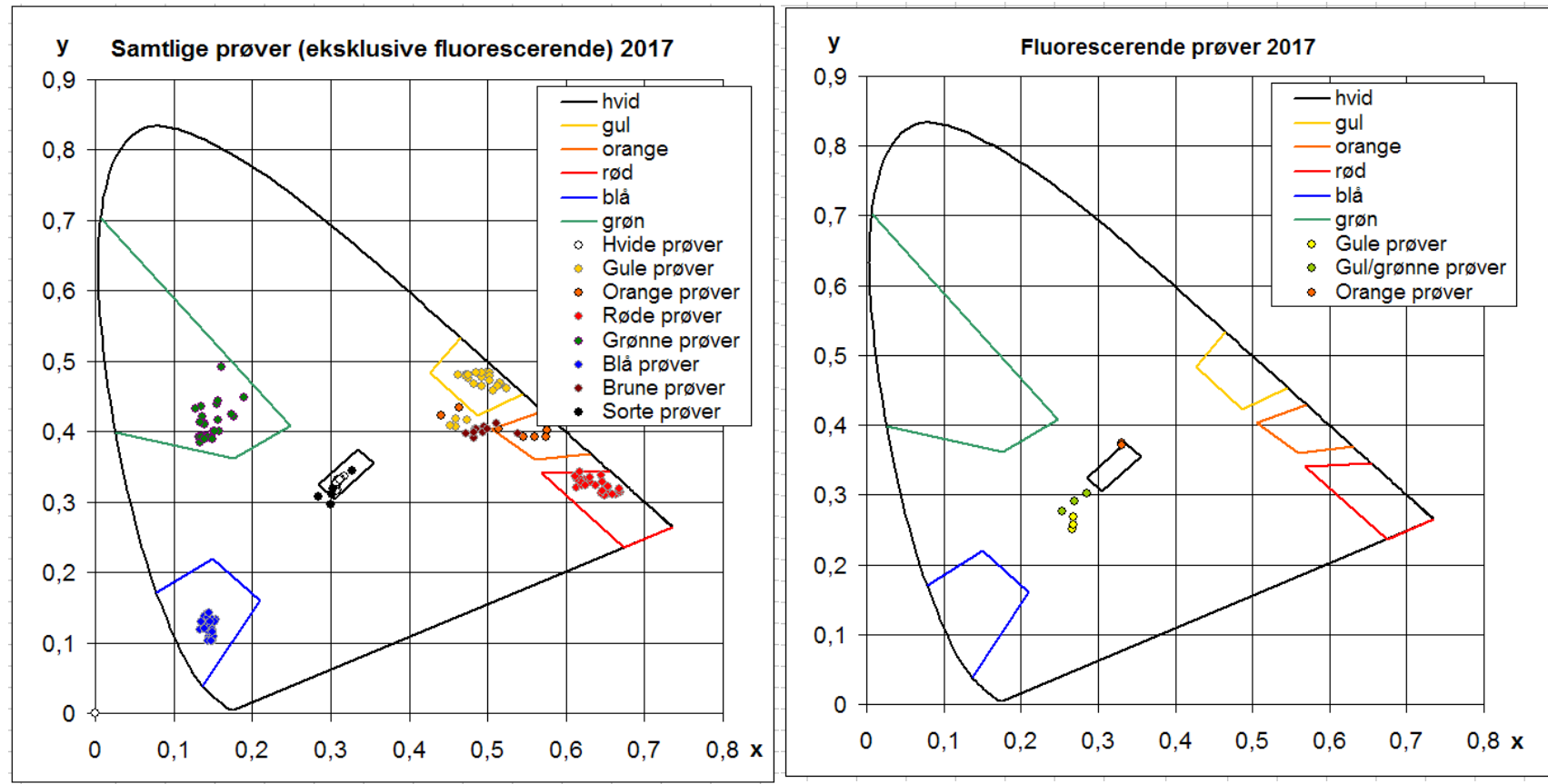
Række	1	2	3	4	5	6	7	8	9	10	11	12	13	14	15	16	17	18	19	20
1	60	41	20	17	6						48	13	10	5	78	51	18	6	9	
2	141	132	53	16	15		108	45	30	15		206	57	36	16			44	17	
3	622	468	132	104	58		231	94	81	45		210	124	81	45	98	50	17	15	40
4	723	576										544	134	114	57		30	11	6	0
5	85	69	25	12	5	190	141	42	31	14	436	382	112	106	42	419	327	93	56	43
6	229	259	56	34	23	161	83	42	36	19	4	0						33	17	
7	417	340	92	95	51	39	262	83	114	56	30	2	163	284	374			99	29	
8	433	354	102	89	61		287	89	73	52	36	3	314	264	307			247	54	
9	599	486	169	101	72	50	391	155	124	70	57	0	264	397	506				0	
10	79	57	24	10	5	205	146	39	38	17	620	344	136	101	35					

Tabel C.2: Måleværdier for  $\beta$ .

Række	1	2	3	4	5	6	7	8	9	10	11	12	13	14	15	16	17	18	19	20
1	0,400	0,335	0,055	0,061	0,023						0,297	0,039	0,078	0,050	0,693	0,352	0,068	0,060	0,045	
2	0,489	0,346	0,065	0,056	0,039		0,322	0,082	0,095	0,052		0,321	0,033	0,071	0,046			0,212	0,052	
3	0,415	0,248	0,044	0,057	0,037		0,259	0,069	0,073	0,041		0,253	0,067	0,060	0,031	0,713	0,439	0,111	0,112	0,200
4	0,364	0,243										0,233	0,029	0,061	0,039		0,196	0,061	0,053	0,008
5	0,420	0,305	0,062	0,060	0,033	0,324	0,170	0,036	0,071	0,041	0,467	0,298	0,039	0,072	0,039	0,468	0,312	0,038	0,072	0,041
6	0,439	0,283	0,047	0,070	0,051	0,345	0,308	0,089	0,078	0,051	0,031	0,005						0,182	0,032	
7	0,469	0,252	0,045	0,064	0,045	0,049	0,289	0,061	0,042	0,048	0,036	0,003	0,312	0,558	0,458			0,153	0,044	
8	0,452	0,268	0,045	0,073	0,047		0,297	0,077	0,084	0,051	0,033	0,004	0,475	0,464	0,488			0,196	0,043	
9	0,370	0,236	0,041	0,075	0,057	0,049	0,249	0,076	0,080	0,052	0,035	0,003	0,381	0,378	0,383				0,154	
10	0,439	0,314	0,065	0,045	0,024	0,283	0,173	0,044	0,072	0,045	0,459	0,268	0,059	0,063	0,043					

Tabel C.3: Måleværdier for farvekoordinater x (øverste værdi) og y (nederste værdi).

Række	1	2	3	4	5	6	7	8	9	10	11	12	13	14	15	16	17	18	19	20
1	0,317	0,493	0,638	0,139	0,145						0,460	0,654	0,137	0,145	0,311	0,486	0,625	0,128	0,148	
	0,337	0,464	0,324	0,411	0,109						0,418	0,312	0,421	0,120	0,331	0,483	0,323	0,432	0,103	
2	0,306	0,493	0,614	0,135	0,134		0,473	0,613	0,177	0,139		0,459	0,649	0,133	0,146			0,576	0,482	
	0,311	0,477	0,320	0,436	0,118		0,481	0,333	0,421	0,137		0,406	0,309	0,413	0,107			0,402	0,398	
3	0,308	0,604	0,654	0,138	0,150		0,462	0,613	0,174	0,144		0,473	0,612	0,157	0,140	0,311	0,476	0,631	0,190	0,320
	0,315	0,474	0,320	0,392	0,103		0,480	0,338	0,424	0,136		0,479	0,336	0,416	0,120	0,332	0,481	0,334	0,448	0,339
4	0,308	0,517										0,453	0,645	0,135	0,151		0,575	0,539	0,135	0,327
	0,327	0,468										0,409	0,313	0,393	0,109		0,393	0,397	0,129	0,344
5	0,313	0,498	0,631	0,134	0,139	0,307	0,629	0,645	0,151	0,149	0,309	0,503	0,647	0,149	0,143	0,308	0,507	0,659	0,139	0,149
	0,333	0,484	0,329	0,413	0,123	0,328	0,457	0,338	0,401	0,126	0,317	0,472	0,315	0,389	0,103	0,316	0,458	0,311	0,389	0,116
6	0,311	0,502	0,663	0,132	0,143	0,441	0,482	0,624	0,143	0,154	0,473	0,303						0,560	0,511	
	0,331	0,483	0,310	0,392	0,121	0,422	0,468	0,331	0,392	0,133	0,397	0,318						0,393	0,411	
7	0,309	0,524	0,670	0,138	0,142	0,482	0,474	0,619	0,161	0,150	0,484	0,300	0,464	0,253	0,266			0,514	0,494	
	0,332	0,462	0,314	0,394	0,118	0,393	0,417	0,331	0,492	0,133	0,404	0,297	0,434	0,277	0,250			0,403	0,399	
8	0,309	0,515	0,668	0,140	0,143		0,475	0,619	0,158	0,152	0,486	0,302	0,331	0,270	0,268			0,546	0,500	
	0,331	0,469	0,315	0,392	0,125		0,475	0,329	0,401	0,129	0,404	0,311	0,374	0,291	0,257			0,393	0,404	
9	0,307	0,502	0,668	0,139	0,142	0,483	0,473	0,613	0,155	0,147	0,495	0,285	0,331	0,285	0,268				0,618	
	0,324	0,479	0,319	0,410	0,141	0,391	0,479	0,333	0,438	0,130	0,407	0,307	0,371	0,302	0,269				0,342	
10	0,310	0,492	0,620	0,133	0,148	0,307	0,515	0,646	0,152	0,145	0,303	0,513	0,653	0,157	0,149					
	0,329	0,483	0,324	0,385	0,119	0,327	0,470	0,329	0,400	0,143	0,345	0,464	0,322	0,443	0,118					



Figur C.1: Farvepunkter for samtlige prøver (eksklusivt fluorescerende).

Figur C.2: Farvepunkter for fluorescerende prøver.

Bilag D: Måleværdier i juni 2018

Tabel D.1: Måleværdier for  $R_A$ .

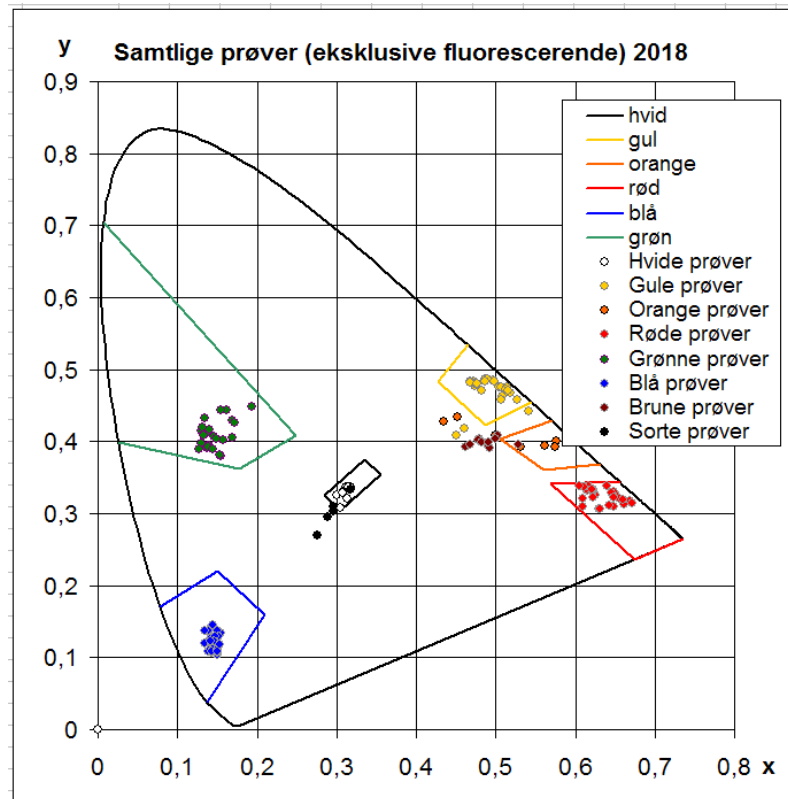
Række	1	2	3	4	5	6	7	8	9	10	11	12	13	14	15	16	17	18	19	20
1	60	46	19	17	5							50	13	11	5	80	60	22	5	8
2	149	130	53	15	15		102	49	31	13		217	53	36	17			39	14	
3	567	460	137	106	58		219	90	81	41		316	130	83	51	94	30	16	16	34
4	601	555										568	144	122	66		30	11	6	1
5	80	70	23	12	5	178	134	44	30	14	436	372	114	99	42	414	351	91	59	41
6	218	251	58	29	21	170	84	35	29	15	5	0						35	17	
7	414	361	102	90	51	41	273	84	108	55	33	2	191	309	378			114	30	
8	424	345	111	90	61	295	92	76	53	38	3	359	281	301				255	58	
9	646	561	183	123	76	60	391	165	120	71	55	0	288	389	486					0
10	83	62	26	11	6	206	156	41	41	18	561	416	149	105	39					

Tabel D.2: Måleværdier for  $\beta$ .

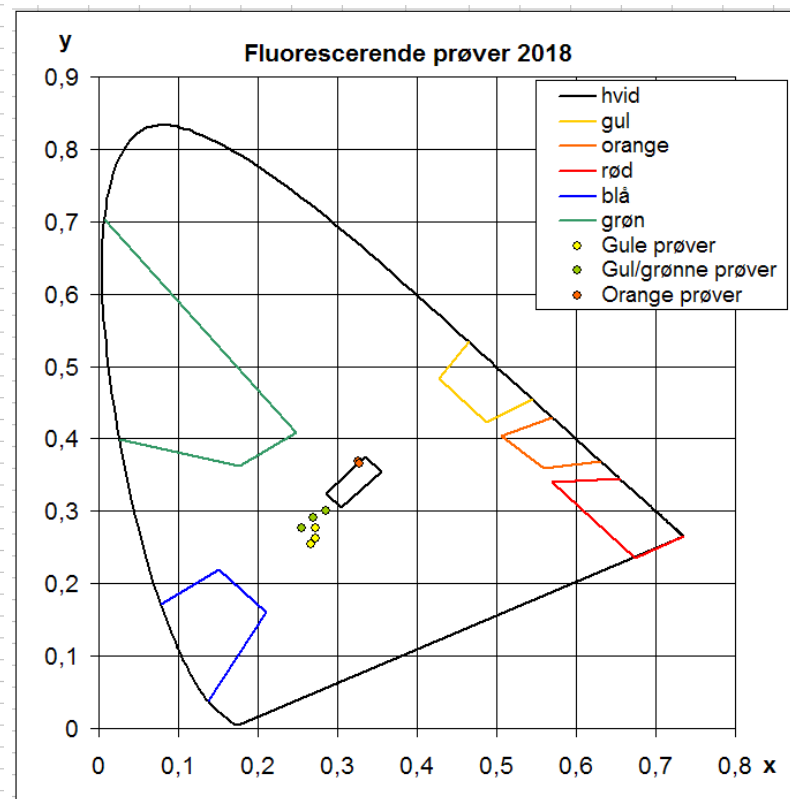
Række	1	2	3	4	5	6	7	8	9	10	11	12	13	14	15	16	17	18	19	20
1	0,394	0,311	0,052	0,061	0,022							0,300	0,038	0,081	0,051	0,668	0,346	0,068	0,059	0,046
2	0,472	0,339	0,064	0,054	0,037		0,312	0,078	0,093	0,050		0,314	0,034	0,071	0,047			0,207	0,053	
3	0,345	0,248	0,047	0,057	0,036		0,255	0,065	0,071	0,041		0,258	0,066	0,064	0,033	0,682	0,431	0,103	0,112	0,195
4	0,362	0,257										0,238	0,028	0,063	0,039		0,191	0,062	0,051	0,010
5	0,413	0,307	0,060	0,060	0,031	0,313	0,167	0,036	0,066	0,041	0,490	0,300	0,039	0,078	0,042	0,481	0,315	0,038	0,072	0,041
6	0,433	0,279	0,047	0,067	0,045	0,338	0,302	0,087	0,074	0,049	0,032	0,005						0,180	0,044	
7	0,453	0,250	0,046	0,064	0,045	0,046	0,281	0,079	0,087	0,046	0,037	0,004	0,335	0,569	0,490			0,163	0,042	
8	0,464	0,271	0,046	0,072	0,046		0,290	0,076	0,083	0,052	0,035	0,006	0,449	0,475	0,513			0,216	0,044	
9	0,355	0,236	0,043	0,064	0,055	0,046	0,246	0,075	0,077	0,051	0,035	0,005	0,404	0,393	0,405				0,147	
10	0,441	0,324	0,062	0,043	0,024	0,276	0,166	0,043	0,070	0,045	0,458	0,289	0,063	0,067	0,043					

**Tabel D.3: Måleværdier for farvekoordinater x (øverste værdi) og y (nederste værdi).**

Række	1	2	3	4	5	6	7	8	9	10	11	12	13	14	15	16	17	18	19	20
1	0,317	0,504	0,651	0,137	0,143							0,460	0,649	0,140	0,146	0,315	0,486	0,623	0,132	0,150
	0,337	0,475	0,326	0,411	0,107							0,418	0,309	0,416	0,123	0,335	0,483	0,323	0,420	0,109
2	0,301	0,487	0,610	0,135	0,139		0,472	0,619	0,169	0,138		0,450	0,642	0,133	0,145				0,576	0,468
	0,325	0,486	0,321	0,433	0,108		0,483	0,335	0,430	0,136		0,408	0,311	0,409	0,111				0,401	0,395
3	0,309	0,514	0,656	0,137	0,150		0,468	0,617	0,172	0,138		0,468	0,611	0,169	0,142	0,315	0,476	0,621	0,193	0,321
	0,329	0,475	0,320	0,393	0,104		0,484	0,339	0,426	0,137		0,482	0,336	0,406	0,123	0,336	0,481	0,334	0,448	0,341
4	0,308	0,514										0,450	0,629	0,138	0,150		0,575	0,528	0,135	0,318
	0,328	0,469										0,408	0,307	0,393	0,107		0,393	0,395	0,138	0,334
5	0,314	0,497	0,648	0,130	0,135	0,309	0,527	0,640	0,146	0,149	0,304	0,509	0,610	0,153	0,143	0,313	0,507	0,631	0,145	0,153
	0,334	0,485	0,330	0,415	0,120	0,330	0,458	0,338	0,407	0,130	0,308	0,463	0,310	0,381	0,108	0,320	0,458	0,306	0,389	0,118
6	0,312	0,507	0,668	0,130	0,142	0,434	0,482	0,622	0,140	0,155	0,462	0,296							0,562	0,503
	0,337	0,476	0,317	0,397	0,112	0,428	0,471	0,332	0,394	0,134	0,392	0,303							0,394	0,408
7	0,311	0,519	0,672	0,139	0,143	0,490	0,474	0,623	0,162	0,150	0,480	0,289	0,452	0,255	0,266				0,500	0,491
	0,332	0,467	0,314	0,394	0,125	0,396	0,478	0,333	0,443	0,137	0,404	0,295	0,434	0,277	0,254				0,409	0,399
8	0,310	0,512	0,662	0,137	0,142		0,473	0,615	0,158	0,152	0,478	0,296	0,326	0,269	0,272				0,531	0,500
	0,331	0,472	0,313	0,391	0,126		0,477	0,332	0,402	0,129	0,402	0,309	0,369	0,291	0,263				0,393	0,403
9	0,310	0,498	0,660	0,140	0,142	0,492	0,473	0,613	0,155	0,148	0,483	0,276	0,327	0,285	0,273				0,605	
	0,328	0,484	0,319	0,392	0,141	0,391	0,481	0,333	0,380	0,130	0,399	0,269	0,365	0,301	0,276				0,338	
10	0,310	0,490	0,625	0,127	0,145	0,307	0,516	0,645	0,149	0,144	0,310	0,542	0,648	0,155	0,150					
	0,329	0,486	0,325	0,390	0,118	0,328	0,470	0,328	0,403	0,146	0,301	0,442	0,322	0,443	0,112					



Figur D.1: Farvepunkter for samtlige prøver (eksklusivt fluorescerende).



Figur D.2: Farvepunkter for fluorescerende prøver.